

# Tumorregister München



- ▶ Inzidenz und Mortalität
- ▶ Auswahlmatrix
- ▶ Homepage
- ▶ *English*

## ICD-10 C00-C14,C30-C32: HNO-Tumoren

### Survival

|                     |            |           |
|---------------------|------------|-----------|
| Diagnosejahr        | 1988-1997  | 1998-2019 |
| Patienten           | 2 037      | 7 501     |
| Erkrankungen        | 2 066      | 7 656     |
| Fälle in Auswertung | 1 860      | 5 826     |
| Erstellungsdatum    | 19.10.2020 |           |
| Datenbankexport     | 12.08.2020 |           |
| Population          | 4,86 Mio.  |           |



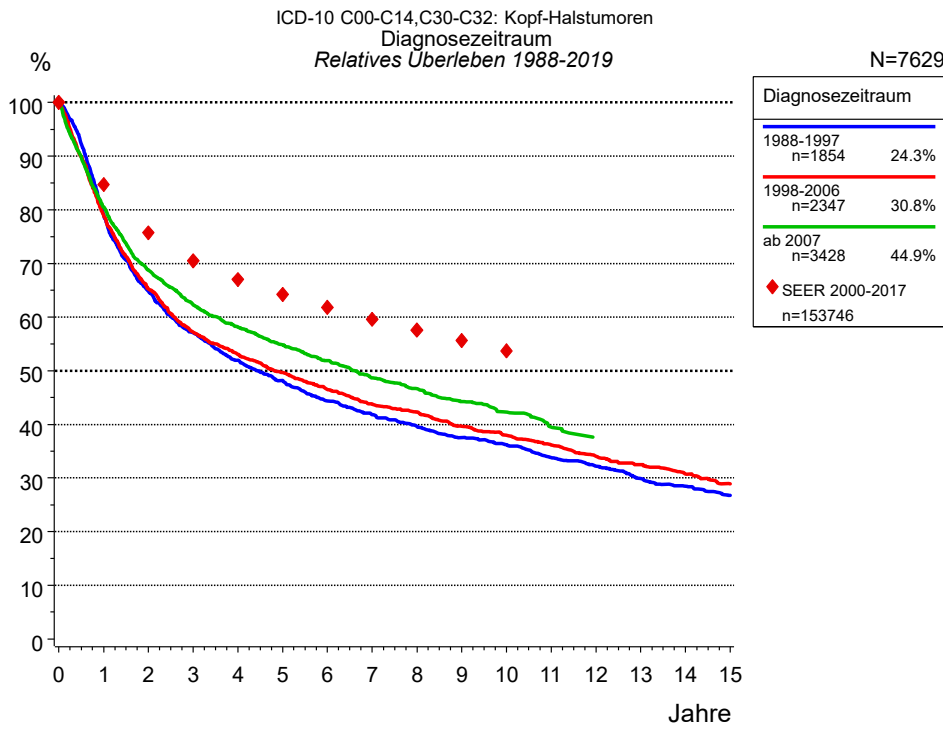
Tumorregister München  
Bayerisches Krebsregister - Regionalzentrum München  
am Klinikum Großhadern/IBE  
Marchioninstr. 15  
81377 München  
Deutschland

<https://www.tumorregister-muenchen.de>

<https://www.tumorregister-muenchen.de/facts/surv/sC0032G-ICD-10-C00-C14-C30-C32-HNO-Tumoren-Survival.pdf>

**Index der Abbildungen und Tabellen**

| Abb./Tab. |   | Seite |
|-----------|---|-------|
| 1a        | Relatives Überleben nach Diagnosezeitraum (Grafik)                        | 3     |
| 1b        | Überleben nach Diagnosezeitraum (Tabelle)                                 | 3     |
| 2a        | Überleben nach Geschlecht (Grafik)  | 4     |
| 2b        | Überleben nach Geschlecht (Tabelle)                                       | 4     |
| 3a        | Beobachtetes Überleben nach Altersgruppe (Grafik)                         | 5     |
| 3b        | Relatives Überleben nach Altersgruppe (Grafik)                            | 5     |
| 3c        | Überleben nach Altersgruppe (Tabelle)                                     | 6     |
| 4a        | Relatives Überleben nach ICD-10-Diagnose (Grafik)                         | 7     |
| 4b        | Überleben nach ICD-10-Diagnose (Tabelle)                                  | 7     |
| 4e        | Konditionales Überleben nach Tumorausbreitung (Grafik)                    | 9     |
| 4f        | Konditionales Überleben nach Tumorausbreitung (Tabelle)                   | 9     |
| 5a        | Zeit bis zur ersten Progression (CI) (Grafik)                             | 10    |
| 5b        | Zeit bis zur ersten Progression (Tabelle)                                 | 10    |
| 5c        | Beobachtetes Überleben ab Progression (Grafik)                            | 12    |
| 5d        | Beobachtetes Überleben ab Progression (Tabelle)                           | 12    |
| 5e        | Beobachtetes Überleben ab Progression nach Zeitraum Progression (Grafik)  | 13    |
| 5f        | Beobachtetes Überleben ab Progression nach Zeitraum Progression (Tabelle) | 13    |



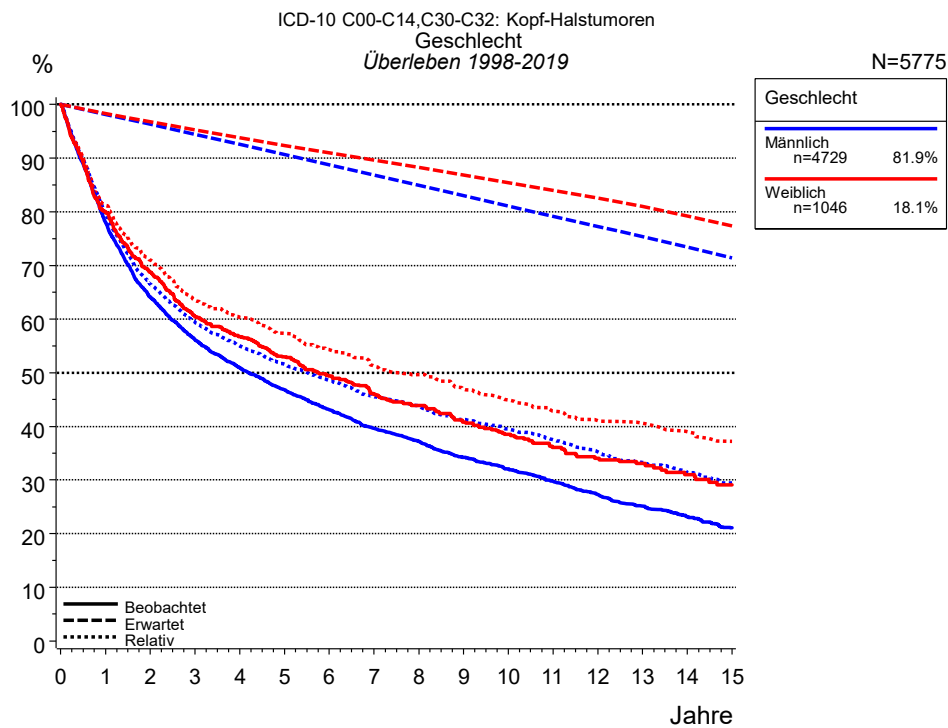
**Abb. 1a.** Relatives Überleben für Patienten mit HNO-Tumoren nach Diagnosezeitraum. In der Auswertung befinden sich 7 629 Patienten aus den Diagnosejahrgängen 1988 bis 2019.

Die farbigen Symbole repräsentieren zum Vergleich die Survival-Ergebnisse des SEER-Programms (Surveillance, Epidemiology, and End Results) des National Cancer Institute (NCI) der USA, zusammengefasst für die Diagnosejahrgänge 2000 bis 2017.

Eingeschlossen sind alle mit klinischen Daten registrierten Patienten, also keine DCO-Fälle. Die Daten ab 1998 haben mit dieser DCO-Einschränkung einen Bevölkerungsbezug. Die historischen Daten der vorausgehenden Perioden können stark selektiert sein, so dass univariate Vergleiche der dargestellten Zeitperioden nur mit Vorsicht zu interpretieren sind. Die verschiedenen Zeitperioden werden dennoch aufbereitet, um insbesondere den Langzeitverlauf des relativen Überlebens im Vergleich zu anderen Tumoren zugänglich zu machen.

| Jahre  | Diagnosezeitraum    |        |                     |        |                   |        |
|--------|---------------------|--------|---------------------|--------|-------------------|--------|
|        | 1988-1997<br>n=1854 |        | 1998-2006<br>n=2347 |        | ab 2007<br>n=3428 |        |
|        | beob. %             | rel. % | beob. %             | rel. % | beob. %           | rel. % |
| 0      | 100.0               | 100.0  | 100.0               | 100.0  | 100.0             | 100.0  |
| 1      | 77.7                | 79.2   | 77.7                | 79.0   | 79.0              | 80.5   |
| 2      | 62.3                | 64.8   | 63.1                | 65.3   | 66.2              | 68.7   |
| 3      | 53.9                | 57.1   | 54.3                | 57.2   | 58.8              | 62.2   |
| 4      | 48.0                | 51.9   | 49.4                | 53.0   | 53.8              | 58.1   |
| 5      | 43.6                | 48.1   | 45.3                | 49.6   | 49.7              | 54.8   |
| 6      | 39.3                | 44.4   | 41.7                | 46.5   | 46.1              | 51.9   |
| 7      | 36.3                | 41.8   | 38.5                | 43.8   | 42.3              | 48.6   |
| 8      | 33.8                | 39.6   | 36.4                | 42.2   | 39.7              | 46.7   |
| 9      | 31.3                | 37.5   | 33.5                | 39.6   | 36.8              | 44.3   |
| 10     | 29.6                | 36.2   | 31.4                | 37.9   | 34.5              | 42.3   |
| 11     | 27.1                | 33.8   | 29.3                | 36.2   | 31.4              | 39.5   |
| 12     | 25.2                | 32.2   | 27.0                | 34.1   | 29.1              | 36.2   |
| 13     | 22.8                | 29.9   | 25.1                | 32.5   |                   |        |
| 14     | 21.3                | 28.5   | 23.2                | 30.7   |                   |        |
| 15     | 19.5                | 26.8   | 21.2                | 28.9   |                   |        |
| Median | 3.6                 |        | 3.9                 |        | 4.9               |        |

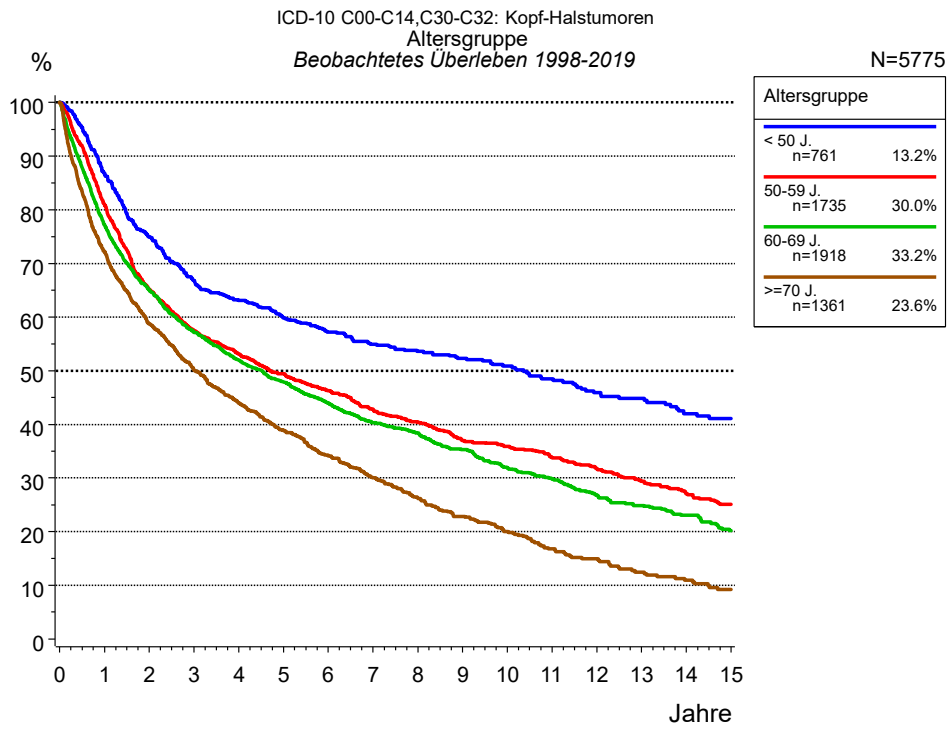
**Tab. 1b.** Beobachtetes (beob.) und relatives (rel.) Überleben für Patienten mit HNO-Tumoren nach Diagnosezeitraum im Zeitraum 1988-2019 (N=7 629).



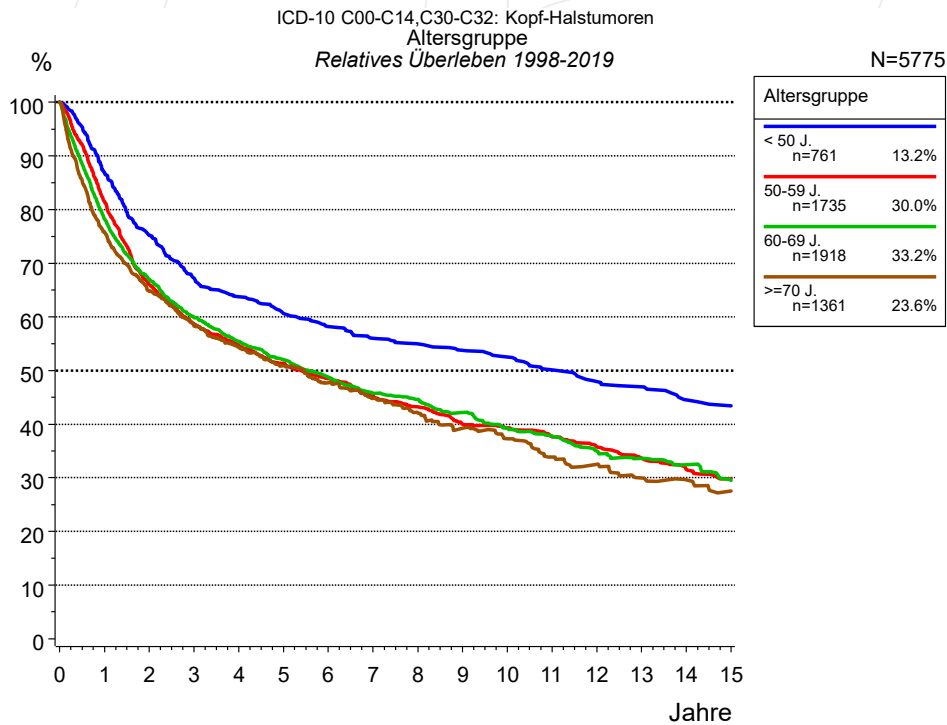
**Abb. 2a.** Beobachtetes, erwartetes und relatives Überleben für Patienten mit HNO-Tumoren nach Geschlecht. In der Auswertung befinden sich 5 775 Patienten aus den Diagnosejahrgängen 1998 bis 2019.

| Jahre  | Geschlecht         |        |                    |        |
|--------|--------------------|--------|--------------------|--------|
|        | Männlich<br>n=4729 |        | Weiblich<br>n=1046 |        |
|        | beob. %            | rel. % | beob. %            | rel. % |
| 0      | 100.0              | 100.0  | 100.0              | 100.0  |
| 1      | 78.1               | 79.6   | 80.1               | 81.3   |
| 2      | 64.1               | 66.5   | 68.8               | 71.0   |
| 3      | 56.1               | 59.4   | 60.4               | 63.4   |
| 4      | 51.0               | 55.0   | 56.7               | 60.4   |
| 5      | 46.8               | 51.6   | 53.0               | 57.3   |
| 6      | 43.1               | 48.5   | 49.4               | 54.3   |
| 7      | 39.6               | 45.5   | 46.0               | 51.3   |
| 8      | 37.2               | 43.8   | 43.9               | 49.6   |
| 9      | 34.2               | 41.2   | 40.8               | 46.9   |
| 10     | 32.0               | 39.5   | 38.5               | 44.9   |
| 11     | 29.7               | 37.5   | 36.1               | 42.9   |
| 12     | 27.3               | 35.2   | 34.1               | 41.0   |
| 13     | 25.1               | 33.3   | 33.1               | 40.5   |
| 14     | 23.1               | 31.4   | 31.0               | 39.0   |
| 15     | 21.1               | 29.4   | 29.1               | 37.2   |
| Median | 4.2                |        | 5.8                |        |

**Tab. 2b.** Beobachtetes (beob.) und relatives (rel.) Überleben für Patienten mit HNO-Tumoren nach Geschlecht im Zeitraum 1998-2019 (N=5 775).



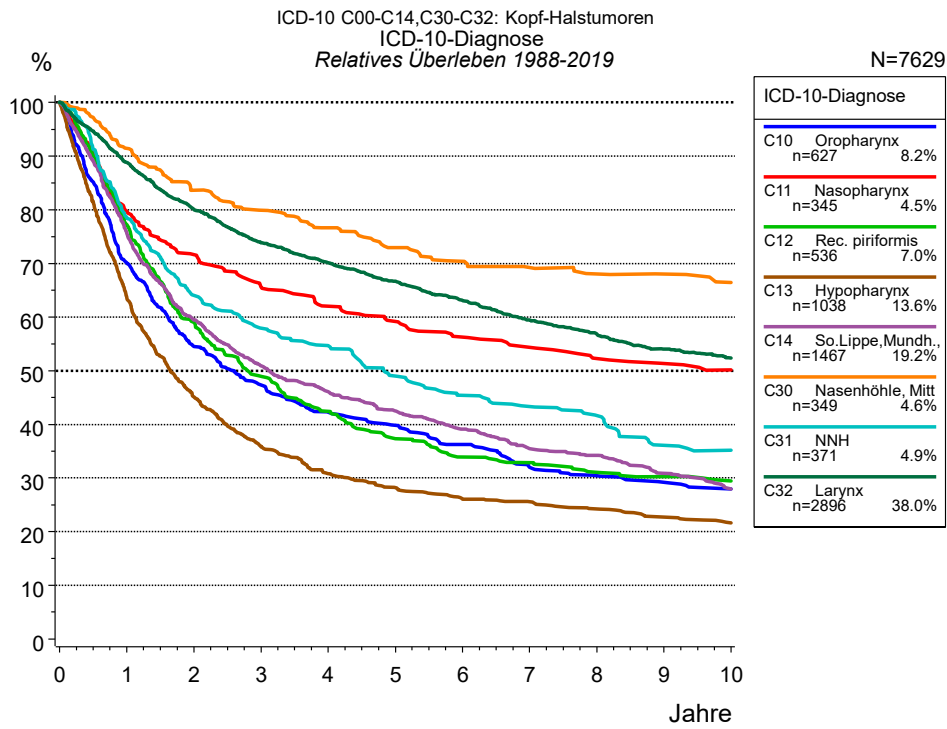
**Abb. 3a.** Beobachtetes Überleben für Patienten mit HNO-Tumoren nach Altersgruppe. In der Auswertung befinden sich 5 775 Patienten aus den Diagnosejahren 1998 bis 2019.



**Abb. 3b.** Relatives Überleben für Patienten mit HNO-Tumoren nach Altersgruppe. In der Auswertung befinden sich 5 775 Patienten aus den Diagnosejahren 1998 bis 2019.

| Jahre  | Altersgruppe     |        |                    |        |                    |        |                   |        |
|--------|------------------|--------|--------------------|--------|--------------------|--------|-------------------|--------|
|        | < 50 J.<br>n=761 |        | 50-59 J.<br>n=1735 |        | 60-69 J.<br>n=1918 |        | >=70 J.<br>n=1361 |        |
|        | beob. %          | rel. % | beob. %            | rel. % | beob. %            | rel. % | beob. %           | rel. % |
| 0      | 100.0            | 100.0  | 100.0              | 100.0  | 100.0              | 100.0  | 100.0             | 100.0  |
| 1      | 86.7             | 86.9   | 81.1               | 81.6   | 77.2               | 78.3   | 72.2              | 75.8   |
| 2      | 74.9             | 75.2   | 65.2               | 66.0   | 65.1               | 67.0   | 58.7              | 64.8   |
| 3      | 66.7             | 67.2   | 57.5               | 58.7   | 57.2               | 59.9   | 50.1              | 58.3   |
| 4      | 63.1             | 63.7   | 53.1               | 54.7   | 51.9               | 55.4   | 44.1              | 54.3   |
| 5      | 59.8             | 60.6   | 49.5               | 51.3   | 47.9               | 52.0   | 38.9              | 50.9   |
| 6      | 57.2             | 58.2   | 46.3               | 48.5   | 44.0               | 48.8   | 34.1              | 47.7   |
| 7      | 54.9             | 56.0   | 42.8               | 45.3   | 40.3               | 45.8   | 30.0              | 44.8   |
| 8      | 53.6             | 54.9   | 40.4               | 43.3   | 38.4               | 44.6   | 26.3              | 42.1   |
| 9      | 52.3             | 53.8   | 37.0               | 40.0   | 35.3               | 42.2   | 22.8              | 39.2   |
| 10     | 50.9             | 52.5   | 35.9               | 39.3   | 31.9               | 39.3   | 20.0              | 37.3   |
| 11     | 48.4             | 50.1   | 33.9               | 37.6   | 29.8               | 37.8   | 16.7              | 33.9   |
| 12     | 45.9             | 47.9   | 31.7               | 35.8   | 26.9               | 35.0   | 14.9              | 32.6   |
| 13     | 44.9             | 46.9   | 29.4               | 33.7   | 24.9               | 33.6   | 12.4              | 30.0   |
| 14     | 42.0             | 44.5   | 27.1               | 31.6   | 23.1               | 32.4   | 10.9              | 29.6   |
| 15     | 41.0             | 43.4   | 25.1               | 29.8   | 20.2               | 29.6   | 9.2               | 27.5   |
| Median | 10.4             |        | 4.7                |        | 4.5                |        | 3.0               |        |

**Tab. 3c.** Beobachtetes (beob.) und relatives (rel.) Überleben für Patienten mit HNO-Tumoren nach Altersgruppe im Zeitraum 1998-2019 (N=5 775).



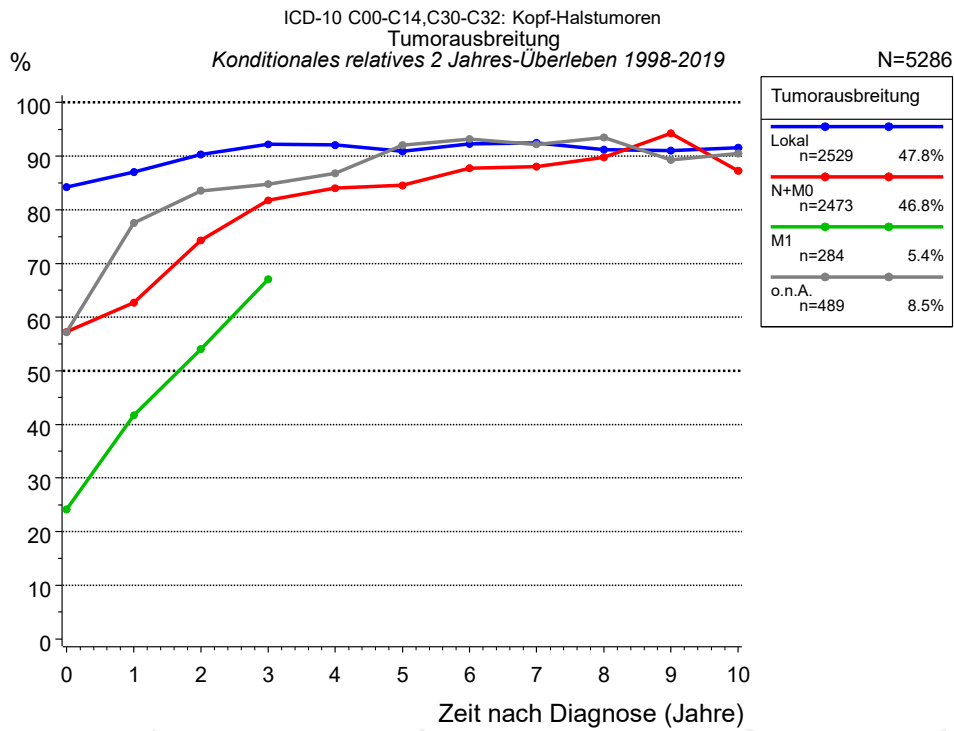
**Abb. 4a.** Relatives Überleben für Patienten mit HNO-Tumoren nach ICD-10-Diagnose. In der Auswertung befinden sich 7 629 Patienten aus den Diagnosejahren 1988 bis 2019.

| Jahre  | C10 Oropharynx<br>n=627 |        | C11 Nasopharynx<br>n=345 |        | C12 Rec. piriformis<br>n=536 |        | C13 Hypopharynx<br>n=1038 |        | C14 So.Lippe,Mundh.,Pharynx<br>n=1467 |        | C30 Nasenhöhle, Mittelohr<br>n=349 |        | C31 NNH<br>n=371 |        |
|--------|-------------------------|--------|--------------------------|--------|------------------------------|--------|---------------------------|--------|---------------------------------------|--------|------------------------------------|--------|------------------|--------|
|        | beob. %                 | rel. % | beob. %                  | rel. % | beob. %                      | rel. % | beob. %                   | rel. % | beob. %                               | rel. % | beob. %                            | rel. % | beob. %          | rel. % |
| 0      | 100.0                   | 100.0  | 100.0                    | 100.0  | 100.0                        | 100.0  | 100.0                     | 100.0  | 100.0                                 | 100.0  | 100.0                              | 100.0  | 100.0            | 100.0  |
| 1      | 69.3                    | 70.2   | 78.9                     | 79.7   | 76.3                         | 77.2   | 62.7                      | 63.7   | 74.6                                  | 75.7   | 89.1                               | 91.4   | 76.5             | 78.6   |
| 2      | 53.2                    | 54.5   | 70.1                     | 71.6   | 57.4                         | 59.0   | 43.8                      | 45.1   | 57.8                                  | 59.5   | 79.2                               | 83.6   | 61.1             | 64.0   |
| 3      | 45.5                    | 47.3   | 63.4                     | 65.6   | 47.0                         | 48.9   | 34.5                      | 35.9   | 48.8                                  | 50.9   | 73.8                               | 79.9   | 53.9             | 57.9   |
| 4      | 40.1                    | 42.3   | 59.2                     | 62.0   | 40.2                         | 42.5   | 29.0                      | 30.8   | 43.5                                  | 46.1   | 69.1                               | 76.6   | 50.0             | 54.7   |
| 5      | 37.3                    | 39.8   | 56.0                     | 59.2   | 34.6                         | 37.3   | 26.2                      | 28.2   | 39.5                                  | 42.5   | 64.1                               | 72.9   | 43.9             | 49.0   |
| 6      | 33.5                    | 36.3   | 52.5                     | 56.2   | 31.0                         | 33.9   | 23.9                      | 26.1   | 35.7                                  | 39.1   | 60.8                               | 70.4   | 39.6             | 45.4   |
| 7      | 29.1                    | 32.0   | 50.0                     | 54.4   | 29.7                         | 32.9   | 23.0                      | 25.6   | 31.9                                  | 35.5   | 58.4                               | 69.3   | 37.2             | 43.3   |
| 8      | 27.3                    | 30.4   | 47.3                     | 52.3   | 27.6                         | 31.0   | 21.5                      | 24.3   | 30.3                                  | 34.2   | 56.2                               | 68.0   | 34.9             | 41.7   |
| 9      | 25.8                    | 29.2   | 45.8                     | 51.4   | 26.4                         | 30.2   | 20.0                      | 22.7   | 26.8                                  | 30.8   | 54.9                               | 68.0   | 29.7             | 36.1   |
| 10     | 24.5                    | 28.0   | 44.1                     | 50.2   | 25.4                         | 29.4   | 18.6                      | 21.6   | 24.0                                  | 28.0   | 52.6                               | 66.4   | 28.4             | 35.2   |
| Median | 2.4                     |        | 6.9                      |        | 2.7                          |        | 1.6                       |        | 2.8                                   |        | 10.8                               |        | 4.0              |        |

| ICD-10-Diagnose |                      |        |
|-----------------|----------------------|--------|
| Forts.          | C32 Larynx<br>n=2896 |        |
| Jahre           | beob. %              | rel. % |
| 0               | 100.0                | 100.0  |
| 1               | 86.9                 | 88.8   |
| 2               | 76.6                 | 80.0   |
| 3               | 69.1                 | 73.8   |
| 4               | 64.1                 | 70.1   |
| 5               | 59.6                 | 66.7   |
| 6               | 55.0                 | 63.1   |
| 7               | 50.5                 | 59.4   |
| 8               | 47.2                 | 56.8   |
| 9               | 43.7                 | 54.0   |
| 10              | 41.3                 | 52.4   |
| Median          | 7.1                  |        |

**Tab. 4b.** Beobachtetes (beob.) und relatives (rel.) Überleben für Patienten mit HNO-Tumoren nach ICD-10-Diagnose im Zeitraum 1988-2019 (N=7 629).



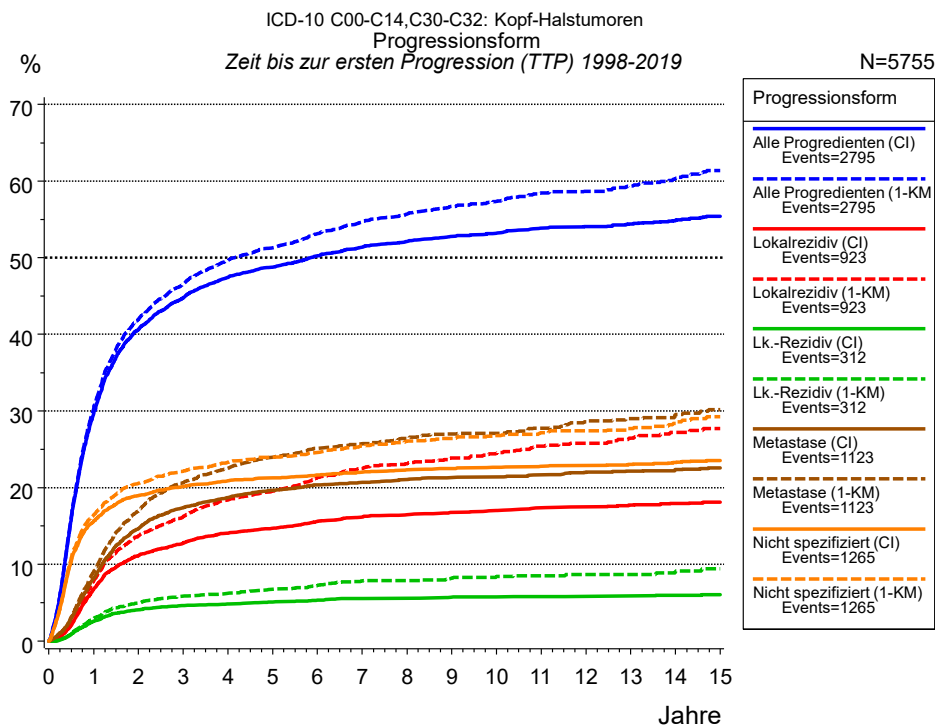


**Abb. 4e.** Konditionales relatives 2 Jahres-Überleben für Patienten mit HNO-Tumoren nach Tumorausbreitung. 5 320 von 5 775 Patienten aus den Diagnosejahren 1998 bis 2019 besitzen Angaben zu diesem Merkmal, für 5 286 Personen wurde eine Klassifikation erstellt. Die graue Linie repräsentiert 489 Patienten ohne auswertbare Angaben zum Merkmal Tumorausbreitung (8,5 % von 5 775 Patienten, die übrigen Prozentangaben beziehen sich auf n=5 286).

| Jahre | Tumorausbreitung |                    |      |                    |     |                    |        |                    |
|-------|------------------|--------------------|------|--------------------|-----|--------------------|--------|--------------------|
|       | Lokal            |                    | N+M0 |                    | M1  |                    | o.n.A. |                    |
|       | n                | Kond. Surv. % 2 J. | n    | Kond. Surv. % 2 J. | n   | Kond. Surv. % 2 J. | n      | Kond. Surv. % 2 J. |
| 0     | 2529             | 84.2               | 2473 | 57.3               | 284 | 24.1               | 489    | 57.2               |
| 1     | 2179             | 87.0               | 1799 | 62.7               | 108 | 41.7               | 301    | 77.6               |
| 2     | 1894             | 90.3               | 1296 | 74.3               | 61  | 54.0               | 248    | 83.5               |
| 3     | 1688             | 92.2               | 1008 | 81.8               | 40  | 67.0               | 217    | 84.8               |
| 4     | 1503             | 92.1               | 829  | 84.0               |     |                    | 186    | 86.8               |
| 5     | 1322             | 90.9               | 682  | 84.5               |     |                    | 162    | 92.0               |
| 6     | 1143             | 92.2               | 567  | 87.7               |     |                    | 147    | 93.2               |
| 7     | 972              | 92.5               | 466  | 88.1               |     |                    | 122    | 92.2               |
| 8     | 838              | 91.2               | 392  | 89.8               |     |                    | 106    | 93.5               |
| 9     | 707              | 91.0               | 309  | 94.3               |     |                    | 92     | 89.3               |
| 10    | 593              | 91.5               | 252  | 87.3               |     |                    | 72     | 90.5               |

**Tab. 4f.** Konditionales Überleben für Patienten mit HNO-Tumoren nach Tumorausbreitung im Zeitraum 1998-2019 (N=5 286).

Das konditionale relative Überleben repräsentiert die Überlebenswahrscheinlichkeit z.B. nach 2 oder 5 Jahren im Vergleich zur Normalbevölkerung (=100 %) unter der Bedingung, eine bestimmte Zeit nach Diagnose eines Tumors (x-Achse in Abb. 4c) überlebt zu haben. Damit wird eine Aussage möglich, wie sich das Risiko durch die Tumorerkrankung für ein bestimmtes Patientenkollektiv verringert. So beträgt beispielsweise für Patienten in der Untergruppe Tumorausbreitung=„Lokal“, die mindestens 3 Jahre nach Diagnose des Tumors am Leben sind, die konditionale relative 2 Jahres-Überlebensrate 92.2% (n=1 688).

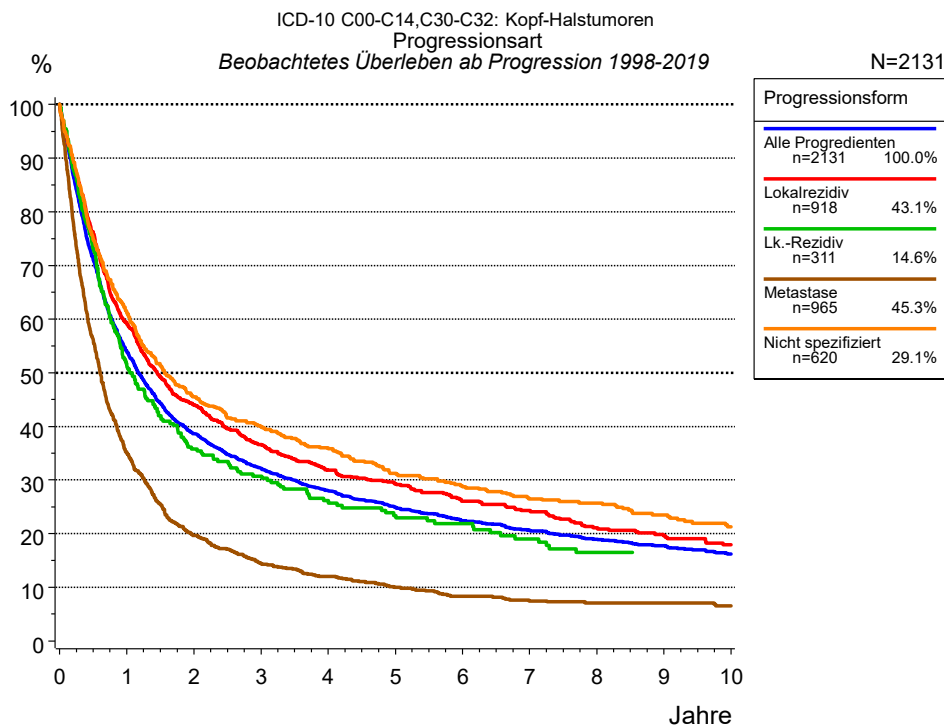


**Abb. 5a.** Zeit bis zum ersten Progressionsereignis für 5 755 Patienten mit HNO-Tumoren aus den Diagnosejahrgängen 1998 bis 2019 (bei soliden Tumoren nur M0) geschätzt als kumulative Inzidenzfunktion (CI, durchgezogene Linie) mit Tod als konkurrierendes Risiko und als umgekehrter Kaplan-Meier-Schätzer (1-KM, gestrichelte Linie). Die Häufigkeit der Ereignisse kann aufgrund von Untererfassung unterschätzt sein.

|          | Progressionsform        |                           |                   |                     |                  |                    |                |
|----------|-------------------------|---------------------------|-------------------|---------------------|------------------|--------------------|----------------|
|          | Alle Progredienten (CI) | Alle Progredienten (1-KM) | Lokalrezidiv (CI) | Lokalrezidiv (1-KM) | Lk.-Rezidiv (CI) | Lk.-Rezidiv (1-KM) | Metastase (CI) |
| N        | 5484                    | 5484                      | 5755              | 5755                | 5755             | 5755               | 5487           |
| Events   | 2786                    | 2786                      | 919               | 919                 | 312              | 312                | 1118           |
| konkurr. | 1030                    |                           | 2937              |                     | 3383             |                    | 2345           |
| Jahre    | %                       | %                         | %                 | %                   | %                | %                  | %              |
| 0        | 0.0                     | 0.0                       | 0.0               | 0.0                 | 0.0              | 0.0                | 0.0            |
| 1        | 29.7                    | 30.4                      | 6.8               | 7.8                 | 2.6              | 3.0                | 8.2            |
| 2        | 40.6                    | 42.0                      | 11.1              | 13.7                | 4.0              | 5.0                | 14.6           |
| 3        | 44.8                    | 46.6                      | 12.7              | 16.2                | 4.6              | 5.9                | 17.4           |
| 4        | 47.4                    | 49.7                      | 14.1              | 18.4                | 4.8              | 6.2                | 18.7           |
| 5        | 48.8                    | 51.3                      | 14.7              | 19.5                | 5.1              | 6.8                | 19.7           |
| 6        | 50.3                    | 53.2                      | 15.6              | 21.2                | 5.3              | 7.2                | 20.3           |
| 7        | 51.4                    | 54.7                      | 16.2              | 22.5                | 5.6              | 7.8                | 20.7           |
| 8        | 52.1                    | 55.7                      | 16.4              | 23.1                | 5.6              | 7.9                | 21.0           |
| 9        | 52.8                    | 56.7                      | 16.8              | 23.9                | 5.7              | 8.2                | 21.3           |
| 10       | 53.2                    | 57.4                      | 17.0              | 24.5                | 5.8              | 8.4                | 21.4           |
| 11       | 53.9                    | 58.5                      | 17.4              | 25.4                | 5.8              | 8.5                | 21.7           |
| 12       | 54.0                    | 58.7                      | 17.5              | 25.8                | 5.9              | 8.6                | 22.0           |
| 13       | 54.4                    | 59.4                      | 17.7              | 26.4                | 5.9              | 8.6                | 22.2           |
| 14       | 54.9                    | 60.4                      | 17.9              | 27.2                | 6.0              | 9.1                | 22.4           |
| 15       | 55.4                    | 61.4                      | 18.1              | 27.7                | 6.0              | 9.4                | 22.6           |

| Forts.   | Progressionsform |                         |                           |
|----------|------------------|-------------------------|---------------------------|
|          | Metastase (1-KM) | Nicht spezifiziert (CI) | Nicht spezifiziert (1-KM) |
| N        | 5487             | 5752                    | 5752                      |
| Events   | 1118             | 1260                    | 1260                      |
| konkurr. |                  | 2500                    |                           |
| Jahre    | %                | %                       | %                         |
| 0        | 0.0              | 0.0                     | 0.0                       |
| 1        | 9.0              | 15.7                    | 16.5                      |
| 2        | 16.9             | 19.0                    | 20.6                      |
| 3        | 20.7             | 20.2                    | 22.2                      |
| 4        | 22.6             | 20.9                    | 23.3                      |
| 5        | 24.0             | 21.3                    | 24.0                      |
| 6        | 25.1             | 21.7                    | 24.6                      |
| 7        | 25.7             | 22.1                    | 25.4                      |
| 8        | 26.4             | 22.4                    | 26.1                      |
| 9        | 27.0             | 22.5                    | 26.4                      |
| 10       | 27.1             | 22.7                    | 26.8                      |
| 11       | 27.8             | 22.9                    | 27.2                      |
| 12       | 28.6             | 22.9                    | 27.4                      |
| 13       | 29.0             | 23.0                    | 27.7                      |
| 14       | 29.5             | 23.3                    | 28.4                      |
| 15       | 30.2             | 23.5                    | 29.3                      |

**Tab. 5b.** Zeit bis zur ersten Progression (CI) für Patienten mit HNO-Tumoren im Zeitraum 1998-2019 (N=5 755) mit gesamter Anzahl von Progressionsereignissen (Events) und von Todesfällen als konkurrierendes Risiko (konkurr.).

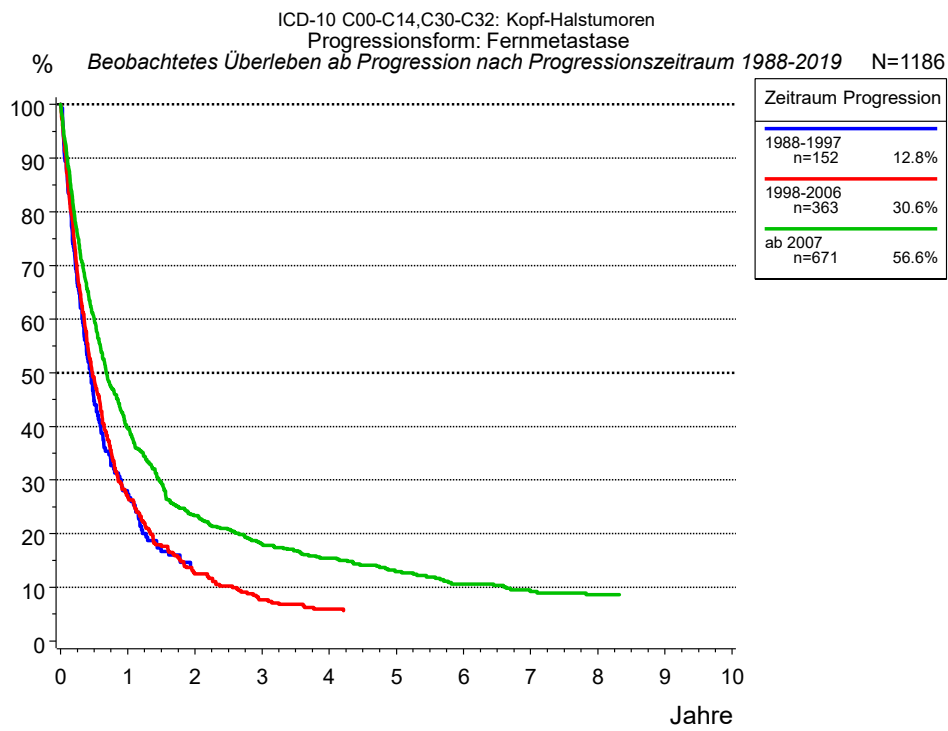


**Abb. 5c.** Beobachtetes Überleben ab erster Progression für 2 131 Patienten mit HNO-Tumoren aus den Diagnosejahrgängen 1998 bis 2019. Diese 2 131 Patienten, für die ein klinischer Hinweis auf ein Progressionsereignis im Krankheitsverlauf vorliegt, entsprechen 37,0 % der 5 755 ausgewerteten Personen (einschl. M1, n=271, 4,7 %). Nicht berücksichtigt sind 935 Patienten (16,2 %), bei denen die Progression dem Register erst mit der Todesbescheinigung bekannt wurde. Mehrere Progressionsformen bei einem Patienten sind möglich, die auch in zeitlichem Abstand auftreten können. Die nicht spezifizierte Progression wird nur gezählt, wenn sie die erste oder die einzige Progressionsform im Verlauf ist.

Die Dokumentation besitzt häufig nicht die sprachliche Schärfe, um bei soliden Tumoren Lokalrezidive, regionäre Lymphknotenrezidive und Metastasen als Ereignisse unterscheiden zu können. Häufig ist auch „nicht spezifiziert“ zu registrieren. „Alle Progredienten“ sind Patienten, bei denen mindestens ein Ereignis im Krankheitsverlauf bekannt ist (einschl. primärer M1-Befunde). Die Anzahl der tatsächlichen Progressionen wird dabei unterschätzt. Lokalrezidive oder Metastasen sind Ereignisse, deren Summe größer als 100 % ist, weil mehrere Ereignisse im Verlauf auftreten können, ein Patient also in mehreren Kurven berücksichtigt werden kann.

| Jahre | Progressionsform                  |                            |                           |                         |                                  |
|-------|-----------------------------------|----------------------------|---------------------------|-------------------------|----------------------------------|
|       | Alle Progredienten<br>n=2131<br>% | Lokalrezidiv<br>n=918<br>% | Lk.-Rezidiv<br>n=311<br>% | Metastase<br>n=965<br>% | Nicht spezifiziert<br>n=620<br>% |
| 0     | 100.0                             | 100.0                      | 100.0                     | 100.0                   | 100.0                            |
| 1     | 54.1                              | 59.3                       | 51.7                      | 35.2                    | 61.4                             |
| 2     | 38.6                              | 44.1                       | 35.8                      | 19.7                    | 45.5                             |
| 3     | 32.2                              | 36.6                       | 30.7                      | 14.4                    | 39.9                             |
| 4     | 27.9                              | 31.8                       | 26.2                      | 12.0                    | 35.8                             |
| 5     | 24.9                              | 29.3                       | 23.4                      | 10.0                    | 31.2                             |
| 6     | 22.4                              | 26.0                       | 21.8                      | 8.3                     | 28.9                             |
| 7     | 20.6                              | 24.3                       | 19.0                      | 7.5                     | 26.5                             |
| 8     | 19.0                              | 21.1                       | 16.5                      | 7.1                     | 25.7                             |
| 9     | 17.7                              | 19.6                       |                           | 7.1                     | 23.5                             |
| 10    | 16.2                              | 17.9                       |                           | 6.5                     | 21.2                             |

**Tab. 5d.** Beobachtetes Überleben ab erster Progression für Patienten mit HNO-Tumoren im Zeitraum 1998-2019 (N=2 131).



**Abb. 5e.** Beobachtetes Überleben ab erster Progression (Fernmetastase) für 1 186 Patienten mit HNO-Tumoren aus den Diagnosejahrgängen 1988 bis 2019 nach Zeitraum Progression.

| Jahre | Zeitraum Progression    |                         |                       |
|-------|-------------------------|-------------------------|-----------------------|
|       | 1988-1997<br>n=152<br>% | 1998-2006<br>n=363<br>% | ab 2007<br>n=671<br>% |
| 0     | 100.0                   | 100.0                   | 100.0                 |
| 1     | 27.4                    | 27.1                    | 39.8                  |
| 2     | 13.9                    | 12.5                    | 23.3                  |
| 3     |                         | 7.7                     | 18.0                  |
| 4     |                         | 6.0                     | 15.4                  |
| 5     |                         |                         | 12.9                  |
| 6     |                         |                         | 10.6                  |
| 7     |                         |                         | 9.2                   |
| 8     |                         |                         | 8.6                   |

**Tab. 5f.** Beobachtetes Überleben ab erster Progression (Fernmetastase) für Patienten mit HNO-Tumoren im Zeitraum 1988-2019 nach Zeitraum Progression (N=1 186).

**Abkürzungen**

|        |  |  |
|--------|--|--|
| TRM    | Tumorregister München                            |  |
| NCI    | National Cancer Institute, USA                   |  |
| SEER   | Surveillance, Epidemiology, and End Results, USA |  |
| UICC   | Union for International Cancer Control, Genf     |  |
| DCO    | Death certificate only                           | Diagnose ausschließlich aus Todesbescheinigung bekannt   |
| k.A.   | Keine Angabe                                     |  |
| o.n.A. | Ohne nähere Angabe                               |  |
| OS     | Overall/Observed Survival                        | Gesamtüberleben/beobachtetes Überleben (Kaplan-Meier-Schätzer)<br>Beginn: Erstdiagnose<br>Ereignis: Tod (alle Ursachen)  |
| RS     | Relative Survival                                | Relatives Überleben, relativ zur „Normalbevölkerung“,<br>Quotient aus beobachtetem und zu erwartendem Überleben<br>(Ederer II-Methode), Schätzung für das tumorspezifische Überleben               |
| AS     | Assembled Survival                               | Zusammengesetzte Darstellung<br>des beobachteten, erwarteten, relativen Überlebens   |
| CS     | Conditional Survival                             | Konditionales Survival<br>Überlebenswahrscheinlichkeit unter der Bedingung,<br>einen bestimmten Zeitraum überlebt zu haben   |
| TTP    | Time to Progression                              | Zeit bis erste Progression<br>Beginn: Erstdiagnose<br>Ereignis (Progression): erste(s) Lokal-, Lymphknotenrezidiv,<br>Metastase oder unspezifische Progression                                     |
|        | 1-KM   | 1 minus Kaplan-Meier-Schätzer<br>(„umgekehrter“ Kaplan-Meier-Schätzer)   |
|        | CI   | Kumulative Inzidenz<br>Tod als konkurrierendes Ereignis (nach Kalbfleisch und Prentice)  |
| PPS    | Post-Progression Survival                        | Überleben ab erster Progression (Kaplan-Meier-Schätzer)<br>Beginn (Progression): erste(s) Lokal-, Lymphknotenrezidiv, Metastase<br>oder unspezifische Progression<br>Ereignis: Tod (alle Ursachen) |

**Empfohlene Zitierweise**

Tumorregister München. Überleben ICD-10 C00-C14,C30-C32: HNO-Tumoren [Internet]. 2020 [aktualisiert 19.10.2020]. Abrufbar von: <https://www.tumorregister-muenchen.de/facts/surv/sC0032G-ICD-10-C00-C14-C30-C32-HNO-Tumoren-Survival.pdf>

**Autorenrechte**

Der Zugang zu den vom Tumorregister München im offenen Internet bereitgestellten Inhalten ist weltweit verfügbar und kostenfrei. Die Dokumente dürfen unter Benennung der Urheberschaft frei heruntergeladen, genutzt, kopiert, gedruckt oder verteilt werden.

**Haftungsausschluss**

Das Tumorregister München übernimmt keinerlei Gewähr für die Aktualität, Korrektheit, Vollständigkeit oder Qualität der im Internet bereitgestellten Inhalte.